

BUSCA GENERALIZADA DA PROPRIEDADE DE OBSERVADOR EM SISTEMAS A EVENTOS DISCRETOS

HUGO J. BRAVO* ANTONIO E.C. CUNHA† PATRÍCIA N. PENAZ‡ JOSÉ E.R. CURY§

*Programa de Pós-Graduação em Engenharia Elétrica - Universidade Federal de Minas Gerais
Av. Antônio Carlos 6627, 31270-901, Belo Horizonte, MG, Brasil

†SE/3 - Instituto Militar de Engenharia
Rio de Janeiro, RJ, Brasil

‡LACSED - DELT - Universidade Federal de Minas Gerais
Belo Horizonte, MG, Brasil

§DAS - CTC - Universidade Federal de Santa Catarina
Florianópolis, SC, Brasil

Email: hugobravoc@ufmg.br, carrilho@ime.eb.br, ppena@ufmg.br, cury@das.ufsc.br

Abstract— His paper adresses the search of the observer property in abstractions of discrete event systems. In this context, we generalize the OP-Search approach to deal with systems that have cycles of nonrelevant events.

Keywords— Discrete event systems, Natural projection, Observer property.

Resumo— Este artigo aborda o problema da busca da propriedade do observador em abstrações de sistemas a eventos discretos. Neste contexto, generaliza-se a abordagem PO-busca a fim de lidar com sistemas que apresentam ciclos de eventos não relevantes.

Palavras-chave— Sistemas a eventos discretos, Projeção natural, Propriedade de observador.

1 Introdução

O emprego de abstrações de Sistemas a Eventos Discretos (SED), que verifiquem a Propriedade de Observador (PO), tem-se mostrado eficaz no tratamentos de diversos problemas relacionados à Teoria de Controle Supervisório (TCS) (Ramadge e Wonham, 1989), como o controle hierárquico (Wong e Wonham, 1996), a verificação de não conflito do controle modular local (Pena et al., 2010a), entre outras. Abstrações, obtidas por *projeção natural*, que verificam a PO são chamadas de PO-abstrações (Pena et al., 2008).

No âmbito do acima citado, surge a seguinte pergunta: caso a abstração não verifique a PO, como refinar o sistema, de modo que a abstração da mesma a verifique? Assim, o *problema da busca da PO* consiste em refinar o sistema cuja abstração não verifica a PO, a fim de que a abstração do sistema refinado a verifique. Várias abordagens que lidam com este problema, como Wong e Wonham (2004), Schmidt e Moor (2006) e Feng e Wonham (2010).

Dentre essas abordagens, destaca-se por sua eficiência a proposta por Pena et al. (2010), em que propõe um algoritmo, denominado PO-busca. Este algoritmo apoia-se em outro, chamado PO-verificador (Pena et al., 2008), que determina se uma abstração é ou não PO-abstração. Caso não o seja, para um primeiro conjunto de eventos relevantes, denotado por $\Sigma_r \subseteq \Sigma$, então o PO-busca refinará o sistema por meio da renomeação de elementos do conjunto $\Sigma - \Sigma_r$, e a incorporação de novos eventos em Σ_r , até que a propriedade seja

atendida. Contudo, o PO-verificador restringe-se a sistemas que não possuam ciclos de eventos não relevantes. Consequentemente, a PO-busca herdará, também, essa restrição.

Recentemente, a fim de contornar a restrição sobre o sistema original, Bravo et al. (2012) apresentaram uma versão modificada do PO-verificador, que permite tratar sistemas com ciclos de eventos não relevantes. Em vista disso, a obtenção de uma versão modificada da PO-busca, torna-se, também, possível.

Neste artigo, apresenta-se uma versão modificada da PO-busca, apoiada na versão modificada proposta por Bravo et al. (2012). O artigo segue com a Seção 2, em que apresentam-se alguns conceitos preliminares seguido da Seção 3, em que descreve-se a versão modificada do PO-verificador. Além disso serão propostas algumas propriedades. Na Seção 4 apresenta-se a versão modificada da PO-busca, com a proposta de algoritmo. Os resultados são discutidos na Seção 5.

2 Preliminares

Nesta seção, revisam-se alguns conceitos da TCS. Sob este paradigma, o comportamento dos SED é descrito por seqüências de *eventos* obtidas desde um conjunto finito de eventos Σ . Σ^* é o conjunto de todas as seqüências de eventos em Σ , incluindo a seqüência vazia ϵ . A *concatenação* das seqüências $s, u \in \Sigma^*$ formam a seqüência $t = su$, em que $t \in \Sigma^*$. A seqüência s é *prefixo* de t e denota-se por $s \sqsubseteq t$. O subconjunto $L \subseteq \Sigma^*$ é denominado *linguagem*. O *prefixo-fechamento* de L é definido por $\bar{L} = \{s \in \Sigma^* | s \sqsubseteq t \text{ para } t \in L\}$.

Uma linguagem regular $L \subseteq \Sigma^*$ pode ser reconhecida por *autômato* (não determinístico) de estados finitos $G = (\Sigma, Q, \rightarrow, Q^\circ)$, em que Σ é um conjunto finito de eventos, Q é o conjunto dos estados, $\rightarrow \subseteq Q \times \Sigma \times Q$ é relação de transição entre os estados, e $Q^\circ \subseteq Q$ é o conjunto dos estados iniciais. G é determinístico, se $|Q^\circ| \leq 1$, e $x \xrightarrow{\sigma} y_1$ e $x \xrightarrow{\sigma} y_2$ implicam sempre $y_1 = y_2$.

A relação de transição pode ser estendida para reconhecer seqüências sobre Σ^* facultando $x \xrightarrow{\varepsilon} x$ para todo $x \in Q$, e $x \xrightarrow{s\sigma} z$ se $x \xrightarrow{s} y$ e $y \xrightarrow{\sigma} z$ para algum $y \in Q$. Além disso, $x \xrightarrow{s}$ significa $x \xrightarrow{s} y$ para algum $y \in Q$ e $x \rightarrow y$ significa $x \xrightarrow{s} y$ para algum $s \in \Sigma^*$. Essa notação pode ser aplicada também em conjuntos de estados e autômatos: $X \xrightarrow{s} Y$ para $X, Y \subseteq Q$ significa $x \xrightarrow{s} y$ para algum $x \in X$ e $y \in Y$, e $G \xrightarrow{s}$ significa $Q^\circ \xrightarrow{s}$.

A *linguagem gerada* de G é definida como $\mathcal{L}(G) = \{s \in \Sigma^* \mid Q^\circ \xrightarrow{s}\}$. Os estados marcados de G são indicados por autolaços rotulados com o evento $w \in \Sigma$, assim, a *linguagem marcada* de G é definida como $\mathcal{L}_m(G) = \{s \in (\Sigma \setminus \{w\})^* \mid sw \in \mathcal{L}(G)\}$. Um estado $x \in Q$ é *acessível* se $G \rightarrow x$, e *coacessível* se $x \xrightarrow{tw}$ para algum $t \in \Sigma^*$. Um autômato G é *acessível* se todos seus estados forem acessíveis, e *não bloqueante* se $\mathcal{L}(G) = \overline{\mathcal{L}_m(G)}$.

Sejam $G = (\Sigma, Q, \rightarrow, Q^\circ)$ um autômato e $\sim \subseteq Q \times Q$ uma relação de equivalência sobre Q . O *autômato quociente* de G é

$$G/\sim = (\Sigma, Q/\sim, \rightarrow/\sim, \tilde{Q}^\circ), \quad (1)$$

em que, $\rightarrow/\sim = \{([\![x]\!] , \sigma, [\![y]\!]) \mid x' \xrightarrow{\sigma} y' \text{ para algum } x' \in [x] \text{ e } y' \in [y]\}$ e $\tilde{Q}^\circ = \{[x^\circ] \mid x^\circ \in Q^\circ\}$. Aqui, $[x] = \{x \in Q \mid x \sim x'\}$ denota uma classe de equivalência de $x \in Q$ e $Q/\sim = \{[x] \mid x \in Q\}$ é o conjunto que agrupa as classes de equivalência.

Neste artigo, Σ é particionado como $\Sigma = \Sigma_r \cup \Sigma_{nr}$, em que Σ_r é o conjunto de eventos *relevantes* e Σ_{nr} é o conjunto de eventos *não relevantes*. Para $\Sigma_r \subseteq \Sigma$, a *projeção natural* $\theta : \Sigma^* \rightarrow \Sigma_r^*$, mapeia seqüências de eventos em Σ^* em seqüências em Σ_r^* apagando os eventos que não pertencem a Σ_r . Este conceito pode ser estendido para linguagens como: $\theta(L) = \{t \in \Sigma_r^* \mid t = \theta(s) \text{ para algum } s \in L\}$. Uma propriedade que caracteriza a projeção natural é apresentada em seguida.

Definição 2.1 (Wong et al., 2000) *Sejam uma linguagem $L \subseteq \Sigma^*$ e $\theta : \Sigma^* \rightarrow \Sigma_r^*$ a projeção natural de Σ^* para Σ_r^* . Diz-se que $\theta(L)$ possui a propriedade de observador quando para todo $s \in \bar{L}$ e todo $t \in \Sigma_r^*$, se $\theta(s)t \in \theta(L)$ então existe $t' \in \Sigma^*$ tal que $\theta(st') = \theta(s)t$ e $t' \in L$.*

Em palavras, se uma abstração verifica a PO, então as tarefas realizadas no sistema abstraído correspondam sempre a abstrações de tarefas do sistema original. A projeção natural pode ser aplicada sobre autômatos, assim um autômato projetado $\theta(G)$, denomina-se PO-abstração se $\theta(\mathcal{L}_m(G))$ verifica a PO (Pena et al., 2008).

3 Verificação da Propriedade de Observador

3.1 Autômato G_{nr}

Com o propósito de tratar sistemas que possuam ciclos de eventos não relevantes introduz-se o autômato G_{nr} . Sejam $G = (\Sigma, Q, \rightarrow, Q^\circ)$ um autômato e $\Sigma_{nr} \subseteq \Sigma$. Uma relação sobre o conjunto Q é definida da seguinte forma:

$$x \xrightarrow{nr} y \iff x \xrightarrow{s} y \text{ para algum } s \in \Sigma_{nr}^*; \quad (2)$$

$$x \xleftrightarrow{nr} y \iff x \xrightarrow{nr} y \text{ e } y \xrightarrow{nr} x. \quad (3)$$

Se $x \xleftrightarrow{nr} y$, então os estados x e y , denominam-se *fortemente Σ_{nr} -conectados* (Σ_{nr} -FC). Se G não possui dois estados Σ_{nr} -FC distintos, então diz-se que é *Σ_{nr} -acíclico*. O conjunto de estados Σ_{nr} -FC é chamado de *componente fortemente Σ_{nr} -conectado* (Σ_{nr} -CFC). Se cada Σ_{nr} -CFC é contraído em um único estado, então o autômato resultante é *Σ_{nr} -acíclico*. O autômato resultante da contração denomina-se *autômato componente fortemente Σ_{nr} -conectado* (autômato Σ_{nr} -CFC) de G . Formalmente, a Σ_{nr} -CFC de $x \in Q$ é

$$[x] = \{y \in Q \mid x \xleftrightarrow{nr} y\}, \quad (4)$$

e o autômato Σ_{nr} -CFC de G é o autômato quociente

$$G_{nr} = G/\xleftrightarrow{nr}. \quad (5)$$

Por construção, G_{nr} não possui ciclos de eventos não relevantes com exceção de autolaços, isto é, se $[x] \xleftrightarrow{nr} [y]$, então $[x] = [y]$. além disso, para $y \in Q$, $[y]$ é definida como *componente terminal* se, para todo $\sigma \in \Sigma_{nr}$ e todo $z \in Q$ tal que $[y] \xrightarrow{\sigma} [z]$, constata-se que $[y] = [z]$.

Exemplo 3.1 *O autômato G_{nr} construído a partir de G (representado na Figura 1) é mostrado na Figura 2. Os estado 1, 2 e 3 formam a Σ_{nr} -CFC $[1] = \{1, 2, 3\}$ em G_{nr} . Além disso, a Σ_{nr} -CFC $[0] = \{0\}$ e Σ_{nr} -CFC $[4] = \{4\}$.*

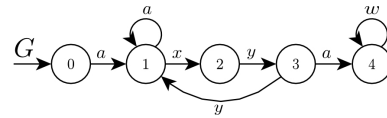


Figura 1: Autômato G .

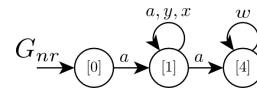


Figura 2: Autômato G_{nr} .

3.2 PO-verificador V_G

Nesta seção, apresenta-se um autômato não determinístico V_G , denominado *PO-verificador*, a fim de determinar se uma abstração é ou não PO-abstração. Sejam $G = (\Sigma, Q, \rightarrow, Q^\circ)$ um autômato determinístico e $G_{nr} = (\Sigma, Q_{nr}, \rightarrow_{nr}, \tilde{Q}^\circ)$

um autômato quociente de G . O PO-verificador V_G para G é

$$V_G = (\Sigma, Q_V, \rightarrow_V, Q_V^\circ) \quad (6)$$

em que,

- $Q_V = \{P \subseteq Q \mid 1 \leq |P| \leq 2\} \cup \{\perp\}$, ou seja, o conjunto de estado de Q_V que agrupa conjuntos de Σ_{nr} -CFC de cardinalidade 1 e 2, ou um estado especial \perp .

- \rightarrow_V define-se da seguinte forma:

$$\begin{aligned} \{[x], [y]\} &\xrightarrow{\sigma} \{[x'], [y']\} \text{ se } \sigma \in \Sigma_r, \\ [x] &\xrightarrow{\sigma_{nr}} [x'], \text{ e } [y] \xrightarrow{\sigma_{nr}} [y']; \end{aligned} \quad (7)$$

$$\begin{aligned} \{[x], [y]\} &\xrightarrow{\sigma} \{[x'], [y]\} \text{ se } \sigma \in \Sigma_{nr} \\ \text{e } [x] &\xrightarrow{\sigma_{nr}} [x']; \end{aligned} \quad (8)$$

$$\begin{aligned} \{[x], [y]\} &\xrightarrow{\sigma} \perp \text{ se } \sigma \in \Sigma_r, [x] \xrightarrow{\sigma_{nr}}, \\ [y] &\text{ é terminal e } [x] \not\xrightarrow{\sigma_{nr}}. \end{aligned} \quad (9)$$

- $Q_V^\circ = \{\tilde{Q}^\circ\}$ é o conjunto de estado inicial de V_G , o qual agrupa o estado inicial de G_{nr} .

Exemplo 3.2 Com o propósito de ilustrar a obtenção de V_G , considere G_{nr} , como mostrado na Figura 2. O conjunto de eventos relevante de G_{nr} é $\Sigma_r = \{a, w\}$. O PO-verificador é o resultado das seguintes transições: por (7), $\{[0]\} \xrightarrow{a} \{[1]\}$, $\{[1]\} \xrightarrow{a} \{[1]\}$, $\{[1]\} \xrightarrow{a} \{[4]\}$, $\{[1]\} \xrightarrow{a} \{[1], [4]\}$ e $\{[4]\} \xrightarrow{w} \{[4]\}$; por (8), $\{[1]\} \xrightarrow{x} \{[1]\}$, $\{[1]\} \xrightarrow{y} \{[1]\}$, $\{[1], [4]\} \xrightarrow{x} \{[1], [4]\}$ e $\{[1], [4]\} \xrightarrow{y} \{[1], [4]\}$; e por (9), $\{[1], [4]\} \xrightarrow{a} \perp$ e $\{[1], [4]\} \xrightarrow{w} \perp$. O verificador V_G é mostrado na Figura 3.

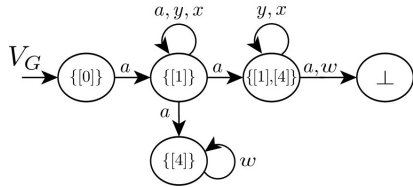


Figura 3: PO-verificador V_G .

O teorema a seguir demonstra a corretude do algoritmo PO-Verificador.

Teorema 3.1 (Bravo et al., 2012) *Seja $G = (\Sigma, Q, \rightarrow, Q^\circ)$ um autômato determinístico não bloqueante. O estado \perp é acessível em V_G , se somente, se $\theta(G)$ não é PO-abstração.*

3.3 Propriedades

Propõem-se nesta subseção algumas propriedades concernentes aos estados de V_G . Nesse contexto, o conjunto Q_V é dividido em Q_V^{es} e Q_V^{ens} , em que Q_V^{es} é o conjunto de estados *seguros* e Q_V^{ens} é o conjunto de estados *não seguros*. Formalmente:

$$Q_V^{es} = \{\{[x], [y]\} \in Q_V \mid \{[x], [y]\} \not\rightarrow \perp\}; \quad (10)$$

$$Q_V^{ens} = \{\{[x], [y]\} \in Q_V \mid \{[x], [y]\} \rightarrow \perp\}. \quad (11)$$

Proposição 3.1 *Sejam $V_G = (\Sigma, Q_V, \rightarrow_V, Q_V^\circ)$ o verificador para $G = (\Sigma, Q, \rightarrow, Q^\circ)$. Portanto, se $x \rightarrow y$, então $\{[x]\} \rightarrow \{[y]\}$, e se $G \rightarrow y$, então $V_G \rightarrow \{[y]\}$.*

Proposição 3.2 *Seja $V_G = (\Sigma, Q_V, \rightarrow_V, Q_V^\circ)$ o verificador. Para todo $\{[x], [y]\} \xrightarrow{\sigma} \perp$, então $\sigma \in \Sigma_r$ e $|\{[x], [y]\}| = 2$.*

4 Busca da Propriedade de Observador

4.1 Análise

Visto que \perp é acessível no verificador V_G , obtido no Exemplo 3.2, então, pelo Teorema 3.1, determina-se que $\theta(G)$ não é PO-abstração. No contexto da PO-busca, um primeiro passo para tratar esse problema é identificar as causas que levam à violação da PO. Resultados anteriores mostram que os caminhos que ligam estados não seguros ao estado \perp no verificador são compostos por estados de cardinalidade 2 e o primeiro evento no caminho é não relevante. Aplicando este resultado sobre V_G , observa-se que não existe nenhum caminho que conduza ao estado \perp que cumpra com as condições estabelecidas. Não obstante, examinando os caminhos que ligam $\{[1]\}$ ao \perp é possível deduzir que esses estão vinculados à violação da PO. Assim, surge a pergunta: será que a informação proporcionada por V_G é insuficiente para identificar as causas que levam à violação da PO?

A fim de contornar a restrição sobre G , na Seção 3 introduziu-se o autômato G_{nr} . Portanto, é evidente que o impacto de obter G_{nr} a partir de G se refletirá na construção de V_G , originando, assim, a falta de informação. Nesse âmbito, deduz-se que existe informação no verificador \mathbb{V} , proposto em Pena et al. (2008), que deveria ser incorporada no verificador V_G , com o intuito de obter uma estrutura que permita identificar as causas que originaram a violação da PO (Bravo, 2012).

4.2 Transformação

Nesta subseção, propõe-se um método que permite localizar a informação de \mathbb{V} omitida por V_G . Nesse âmbito, apresenta-se o seguinte resultado.

Proposição 4.1 *Todo estado de $Q_V \setminus \{\perp\}$, encerra uma Σ_{nr} -CFC do verificador \mathbb{V} .*

Sejam $G = (\Sigma, Q, \rightarrow, Q^\circ)$ um autômato determinístico não bloqueante e $V_G = (\Sigma, Q_V, \rightarrow_V, Q_V^\circ)$ o verificador para G . A Σ_{nr} -CFC de \mathbb{V} , obtida a partir da transformação de $Q_V \setminus \{\perp\}$, é

$$(\Omega, \rightarrow^{\mathbb{V}}) \quad (12)$$

em que,

- Ω é o conjunto de estados, tal que cada elemento de Ω agrupa um ou dois elementos do conjunto Q , ou seja, $\Omega = \{\langle x, y \rangle \mid x, y \in Q\}$.

- $\rightarrow^{\mathbb{V}}$ define-se da seguinte forma:

$$\langle x, y \rangle \xrightarrow{\sigma} \langle x', y' \rangle \text{ se } \sigma \in \Sigma_r, x \xrightarrow{\sigma} x' \text{ tal} \\ \text{que } x' \in [x] \text{ e } y \xrightarrow{\sigma} y' \text{ tal que } y' \in [y]; \quad (13)$$

$$\langle x, y \rangle \xrightarrow{\sigma} \langle x', y \rangle \text{ se } \sigma \in \Sigma_{nr}, \text{ e } x \xrightarrow{\sigma} x' \\ \text{tal que } x' \in [x]. \quad (14)$$

Algoritmo 4.1 (Transformação)

```

Entrada:  $\{\{x\}, [y]\}$ 
1  escolher  $x \in [x]$  e  $y \in [y]$ , e construa  $\langle x, y \rangle$ ;
2  faça  $\Omega \leftarrow \emptyset$  e  $\Lambda \leftarrow \langle x, y \rangle$ ;
3  enquanto  $\Lambda - \Omega \neq \emptyset$  faça
4  |   selecione  $\langle x, y \rangle \in \Lambda - \Omega$ ,
5  |   excluir  $\langle x, y \rangle$  de  $\Lambda$  e inserir em  $\Omega$ 
6  |   expandir  $\langle x, y \rangle$ 
7  fim
   Saída:  $(\Omega, \rightarrow^{\mathbb{V}})$ 
8  rotina expandir( $\langle x, y \rangle$ );
9  para todo  $\sigma \in \Sigma_r$  faça
10 |   se  $x \xrightarrow{\sigma} e y \xrightarrow{\sigma}$  então
11 |   |   para todo  $x \xrightarrow{\sigma} x' e y \xrightarrow{\sigma} y'$  tal que
12 |   |   |    $x' \in [x] e y' \in [y]$  faça
13 |   |   |   |    $\langle x, y \rangle \xrightarrow{\sigma} \langle x', y' \rangle$ 
14 |   |   |   |    $\Lambda \leftarrow \Lambda \cup \langle x', y' \rangle$ 
15 |   |   fim
16 |   fim
17 para todo  $\sigma \in \Sigma_{nr}$  faça
18 |   para todo  $x \xrightarrow{\sigma} x'$  tal que  $x' \in [x]$  faça
19 |   |    $\langle x, y \rangle \xrightarrow{\sigma} \langle x', y \rangle$ 
20 |   |    $\Lambda \leftarrow \Lambda \cup \langle x', y \rangle$ 
21 |   fim
22 para todo  $y \xrightarrow{\sigma} y'$  tal que  $y' \in [y]$  faça
23 |    $\langle x, y \rangle \xrightarrow{\sigma} \langle x, y' \rangle$ 
24 |    $\Lambda \leftarrow \Lambda \cup \langle x, y' \rangle$ 
25 |   fim
26 fim

```

A fim de auxiliar a identificação das causas que levam à violação da PO, a transformação será aplicada apenas sobre estados de $Q_V \setminus \{\perp\}$, que forem totais e não seguros (Bravo, 2012). Classifica-se como *estado total* a um estado de $Q_V \setminus \{\perp\}$ com cardinalidade 1, isto é, $\{\{x\}\}$, e $|[x]| > 1$.

O conjunto de estados totais e não seguros de V_G é $Q_V^{tns} = \{\{[x]_1\}, \dots, \{[x]_n\}\}$, tal que $Q_V^{tns} \subseteq Q_V$. Agora, se aplicarmos a transformação sobre cada elemento de Q_V^{tns} , obtemos o conjunto $T_{total} = \{(\Omega_1, \rightarrow^{\mathbb{V}}_1), \dots, (\Omega_n, \rightarrow^{\mathbb{V}}_n)\}$. A união da sequência de conjuntos Ω_n e a união da sequência de conjuntos $\rightarrow^{\mathbb{V}}_n$ são:

$$\Omega_{total} = \bigcup_{i=1}^n \Omega_i; \quad (15)$$

$$\rightarrow^{\mathbb{V}}_{total} = \bigcup_{i=1}^n \rightarrow^{\mathbb{V}}_i. \quad (16)$$

Visto que $(\Omega, \rightarrow^{\mathbb{V}})$ é uma Σ_{nr} -CFC de \mathbb{V} , então Ω_{total} e $\rightarrow^{\mathbb{V}}_{total}$ são famílias de conjuntos disjuntos.

4.3 Vizinhaça

Dado um conjunto total e não seguro $\{\{x\}\} \in Q_V^{tns}$, um estado $\{[i], [j]\} \in Q_V$ é *vizinho antecessor* de $\{\{x\}\}$ se existe $\alpha \in \Sigma$, tal que $(\{[i], [j]\}, \alpha, \{\{x\}\})$ e um estado $\{[t], [k]\} \in Q_V$ é *vizinho sucessor* de $\{\{x\}\}$ se existe $\beta \in \Sigma$, tal que $(\{\{x\}\}, \beta, \{[t], [k]\})$. O conjunto de vizinhos antecessores e sucessores de $\{\{x\}\}$ é $\Gamma(\{\{x\}\})$. A vizinhaça de Q_V^{tns} é

$$\Gamma(Q_V^{tns}) = \bigcup_{i=1}^n \Gamma(\{[x]_i\}). \quad (17)$$

Proposição 4.2 *Sejam $G = (\Sigma, Q, \rightarrow, Q^\circ)$ um autômato determinístico não bloqueante e o conjunto $\Gamma(\{\{x\}\})$, tal que $\{\{x\}\} \in Q_V^{tns}$. Então:*

- (i) *Para todo $\{[i], [j]\} \xrightarrow{\alpha} \{\{x\}\}$, tal que $\{[i], [j]\} \in \Gamma(\{\{x\}\})$ e $\alpha \in \Sigma_r$, então se $i \xrightarrow{\sigma} x$ tal que $i \in [i]$ e $x \in [x]$, e $j \xrightarrow{\sigma} y$ tal que $j \in [j]$ e $y \in [x]$, tem-se $\{[i], [j]\} \xrightarrow{\sigma} \langle x, y \rangle$;*
- (ii) *Para todo $\{[i], [j]\} \xrightarrow{\alpha} \{\{x\}\}$, tal que $\{[i], [j]\} \in \Gamma(\{\{x\}\})$ e $\alpha \in \Sigma_{nr}$, então se $i \xrightarrow{\sigma} x$ tal que $i \in [i]$ e $x \in [x]$, tem-se $\{[i], [j]\} \xrightarrow{\sigma} \langle x, j \rangle$;*
- (iii) *Para todo $\{\{x\}\} \xrightarrow{\beta} \{[i], [j]\}$, tal que $\{[i], [j]\} \in \Gamma(\{\{x\}\})$ e $\beta \in \Sigma_r$, então se $x \xrightarrow{\beta} i$ tal que $x \in [x]$ e $i \in [i]$, e $y \xrightarrow{\beta} j$ tal que $y \in [x]$ e $j \in [j]$, tem-se $\langle x, y \rangle \xrightarrow{\beta} \{[i], [j]\}$;*
- (vi) *Para todo $\{\{x\}\} \xrightarrow{\beta} \{[i], [j]\}$, tal que $\{[i], [j]\} \in \Gamma(\{\{x\}\})$ e $\beta \in \Sigma_{nr}$, então se $x \xrightarrow{\beta} i$ tal que $x \in [x]$ e $i \in [i]$, tem-se $\langle x, j \rangle \xrightarrow{\beta} \{[i], [j]\}$.*

Para $\Gamma(\{\{x\}\})$, transições obtidas por (i) e (ii), denominam-se *entradas* de $\{\{x\}\}$ e as obtidas por (iii) e (vi), denominam-se *saídas* de $\{\{x\}\}$. As entradas e saídas de $\{\{x\}\}$ é $\rightarrow^{\text{in/out}}_{\{\{x\}\}}$. O conjunto de entradas e saídas para Q_V^{tns} é

$$\rightarrow^{\text{in/out}}_{total} = \bigcup_{i=1}^n \rightarrow^{\text{in/out}}_{\{\{x\}_i\}}. \quad (18)$$

Para $\{\{x\}\} \in Q_V^{tns}$, a transição $\{\{x\}\} \xrightarrow{\sigma} \{\{y\}\}$ é definida como *terminal* se, para todo $\sigma \in \Sigma$ e todo $\{\{y\}\} \in Q_V$, constata-se que $\{\{x\}\} = \{\{y\}\}$. As transições terminais de $\{\{x\}\}$ é $\rightarrow^{\text{ter}}_{\{\{x\}\}}$. O conjunto de transições terminais para Q_V^{tns} é

$$\rightarrow^{\text{ter}}_V = \bigcup_{i=1}^n \rightarrow^{\text{ter}}_{\{\{x\}_i\}}. \quad (19)$$

4.4 Verificador Híbrido

Nesta subseção, apresenta-se um autômato não determinístico V_H , denominado *verificador híbrido*, como uma estrutura suplementar capaz de permitir a correta identificação das causas que originaram a violação da PO. Esta estrutura unifica

parte das informações proporcionadas pelos verificadores \mathbb{V} e V_G . Seja $V_G = (\Sigma, Q_V, \rightarrow_V, Q_V^\circ)$ o verificador de G . O verificador híbrido V_H de V_G é

$$V_H = (\Sigma, Q_H, \rightarrow_H, Q_H^\circ) \quad (20)$$

em que,

- $Q_H = (Q_V \setminus Q_V^{tns}) \cup \Omega_{total}$
- $\rightarrow_H = (\rightarrow_V \setminus \rightarrow_V^{ter}) \cup \rightarrow_{total}^{\mathbb{V}} \cup \rightarrow_{total}^{in/out}$
- $Q_H^\circ = \{\tilde{Q}^\circ\}$

A fim de padronizar os rótulos dos estados de \mathbb{V} e V_G , sem perda de generalidade, os estados $\langle x, y \rangle$, obtidos nas Subseções 4.2 e 4.3, serão apresentados como $\{[x], [y]\}$. A seguir apresentam-se os seguintes resultados.

Lema 4.1 *Se $Q_V^{tns} = \emptyset$, então $V_H = V_G$.*

Lema 4.2 *Sejam $G = (\Sigma, Q, \rightarrow, Q^\circ)$ um autômato determinístico e $V_H = (\Sigma, Q_H, \rightarrow_H, Q_H^\circ)$ o verificador híbrido, obtido a partir de V_G . Se \perp é acessível em V_H , então existe um estado $a \in Q$, um evento $\eta \in \Sigma_{nr}$, e uma sequência de eventos $t \in \Sigma^*$ tal que $\{[a]\} \xrightarrow{\eta^t} \perp$, e, para todo prefixo $t' < t$, $\{[a]\} \xrightarrow{\eta^{t'}} \{[x], [y]\}$, tal que $|\{[x], [y]\}| = 2$.*

O Lema 4.2, aplicado sobre o verificador V_H , identifica de uma forma geral as causas que levam à violação da PO.

4.5 PO-busca

Motivados pela eficiência e simplicidade oferecida pela PO-busca, proposta em Pena et al. (2010), propõe-se, nesta subseção, uma versão modificada da PO-busca, a fim de obter PO-abstrações. Esta nova versão apóia-se na versão modificada do PO-verificador proposta por Bravo et al. (2012).

A diferença entre a versão modificada e versão original da PO-busca reside no fato de que, além de garantir os mesmo resultados e usufruir das vantagens computacionais, contornam-se as restrições sobre o sistema original. Assim, por exemplo, torna-se possível aplicar este método em sistemas que possuam ciclos de eventos não relevantes.

O algoritmo PO-busca (Algoritmo 4.2), segue a idéia de funcionamento do algoritmo PO-busca, proposto em Pena et al. (2010). No entanto, ante a existência de estados totais e não seguros em V_G , a fim de identificar as causas que levam à violação da PO, deve-se construir o verificador V_H .

O Teorema a seguir demonstra a corretude do algoritmo proposto.

Teorema 4.1 *Sejam \tilde{G} e $\tilde{\Sigma}_r$ o resultado da execução do algoritmo PO-busca, e $\tilde{\theta} : \tilde{\Sigma}^* \rightarrow \tilde{\Sigma}_r^*$ a projeção natural de $\tilde{\Sigma}$ em $\tilde{\Sigma}_r$. Então $\tilde{\theta}(\tilde{G})$ é sempre PO-abstração.*

Algoritmo 4.2 (PO-busca)

Entrada: $G = (\Sigma, Q, \rightarrow, Q^\circ)$
Entrada: Um primeiro conjunto $\Sigma_r \subseteq \Sigma$
1 Construir $V_G = (\Sigma, Q_V, \rightarrow_V, Q_V^\circ)$ a partir de G ;
2 enquanto \perp for acessível em V_G faça
3 se $Q_V^{tns} \neq \emptyset$ então
4 Construir $V_H = (\Sigma, Q_H, \rightarrow_H, Q_H^\circ)$
5 senão
6 $V_H = V_G$
7 fim
8 Encontre um estado $a \in Q$, um evento $\eta \in \Sigma_{nr}$, e uma sequência $t \in \Sigma^*$ tal que $\{[a]\} \xrightarrow{\eta^t} \perp$, e, para todo prefixo $t' < t$, existe $\{[a]\} \xrightarrow{\eta^{t'}} \{[x], [y]\}$, tal que $ \{[x], [y]\} = 2$;
9 Crie um novo evento $\eta' \in \Sigma_{nr}$ por renomeação de η ;
10 Construa o autômato renomeação \hat{G} a partir de G por substituição dos rótulos com η da transição que parte de $a \in Q$ por η' ;
11 $\tilde{\Sigma}_r \leftarrow \Sigma_r \cup \{\eta'\}$;
12 Construir o verificador $\hat{V}_{\hat{G}}$ a partir de \hat{G} e $\tilde{\Sigma}_r$;
13 faça $V_G \leftarrow \hat{V}_{\hat{G}}$, $G \leftarrow \hat{G}$ e $\Sigma_r \leftarrow \tilde{\Sigma}_r$.
14 fim
Saída: $\tilde{G} \leftarrow G$ e $\tilde{\Sigma}_r \leftarrow \Sigma_r$

Exemplo 4.1 *Considere G , G_{nr} e V_G , mostrados nas figuras 1, 2 e 3, aqui retomados dos exemplos 3.1 e 3.2. O primeiro conjunto de eventos relevantes é $\Sigma_r = \{a, w\}$. Note que \perp é acessível em V_G , então, pelo Teorema 3.1, $\theta(G)$ não é PO-abstração. Assim, G deve ser refinado conforme as linhas 4 a 11, do algoritmo PO-busca. Em V_G , identifica-se o estado $\{[1]\}$ como o único elemento de Q_V^{tns} . Portanto, pela Linha 4, constrói-se o verificador V_H , como mostrado na Figura 4. Após de obter V_H , seleciona-se um caminho que conduza a \perp conforme a linha 8. O caminho selecionado é $(\{[3]\}, yaw, \perp)$. Pela linha 9, escolhe-se o evento $y1$ para substituir y , originando $\tilde{\Sigma}_r = \{a, w, y1\}$. Logo, pela linha 10, refina-se G substituído $(3, y, 1)$ por $(3, y1, 1)$. O autômato refinado \hat{G} (primeira renomeação) de G é mostrado na Figura 5.*

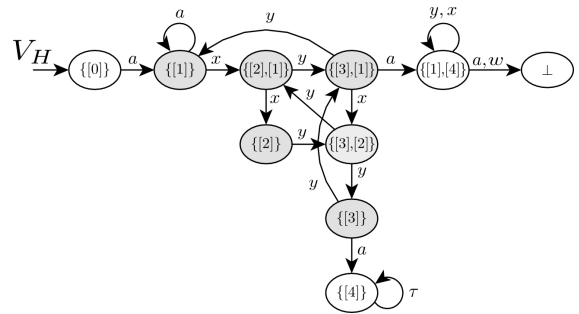


Figura 4: Verificador V_H .

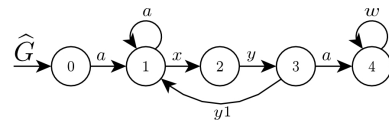


Figura 5: Autômato renomeado \hat{G} .

De acordo com a linha 14, deve-se construir $\widehat{V}_{\widehat{G}}$ a partir de \widehat{G} e $\widehat{\Sigma}_r$, a fim de verificar se \perp ainda é acessível em $\widehat{V}_{\widehat{G}}$. Após da segunda renomeação de G , observa-se que \perp já não é acessível em $\widehat{V}_{\widehat{H}}$, como mostrado na Figura 7. Portanto, a execução do algoritmo conclui e retorna o autômato \widehat{G} , mostrado na Figura 6 e o conjunto de eventos relevantes é $\widehat{\Sigma}_r = \{a, w, y1, x1\}$.

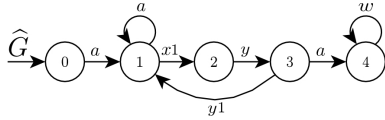


Figura 6: Autômato renomeado \widehat{G} .

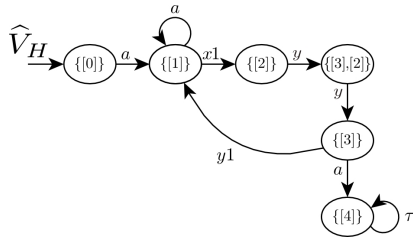


Figura 7: Verificador $\widehat{V}_{\widehat{H}}$.

5 Conclusões

Neste artigo foi proposta uma versão modificada da PO-busca, a qual torna possível o tratamento de sistemas que possuam ciclos de eventos não relevantes. Nesta versão, realiza-se a transformação alguns estados totais não seguros do verificador a fim de evidenciar as informações omitidas devido aos ciclos de eventos não relevantes, mas que são necessárias para se conseguir que um sistema abstraído apresente a propriedade de observador. Demonstra-se que a inclusão dessa informação pode ser realizada de forma parcial, isto é apenas nos estados envolvidos nos caminhos que levam ao não atendimento da propriedade de observador.

6 Agradecimentos

O presente trabalho foi realizado com o apoio financeiro da CAPES - Brasil. O terceiro autor é apoiado parcialmente pela FAPEMIG. O quarto autor é apoiado parcialmente pelo CNPq (PQ300953/93-3). Todos os autores são apoiados parcialmente pela CAPES (Procad 102/2007).

Referências

Bravo, H. (2012). *Verificação e Busca da Propriedade de Observador em Sistemas a Eventos Discretos*, Master's thesis, Instituto Militar de Engenharia, Rio de Janeiro - Brasil.

Bravo, H., da Cunha, A., Pena, P., Malik, R. e Cury, J. (2012). Generalised Verification of

the Observer Property in discrete event systems, *Proceedings of the 11th International Workshop of Discrete Event Systems, WODES'12*, Guadalajara, Mexico, pp. 337–342.

- Feng, L. e Wonham, W. M. (2010). On the Computation of Natural Observers in Discrete-Event Systems, *Discrete Event Dynamic Systems* **20**(1): 63–102.
- Pena, P., Cury, J., Cunha, A. e Lafortune, S. (2010a). Metodologia e Ferramenta de Apoio ao Teste de Não-Conflicto no Controle Modular de Sistemas a Eventos Discretos, *Sba Controle & Automação* **21**(1): 58–68.
- Pena, P., Cury, J. e Lafortune, S. (2008). Polynomial-Time Verification of the Observer Property in Abstractions, *Proceedings of the 2008 American Control Conference, ACC'08*, Seattle, USA, pp. 465–470.
- Pena, P. N., Cury, J., Malik, R. e Lafortune, S. (2010). Efficient Computation of Observer Projections using OP-Verifiers, *Proceedings of the 10th International Workshop on Discrete Event Systems, WODES'10*, Berlin, Germany, pp. 416–421.
- Ramadge, P. J. G. e Wonham, W. M. (1989). The Control of Discrete Event Systems, *Proc. of the IEEE* **77**(1): 81–98.
- Schmidt, K. e Moor, T. (2006). Marked-String Accepting Observers for the Hierarchical and Decentralized Control of Discrete Event Systems, *8th International Workshop on Discrete Event Systems, 2006*, pp. 413–418.
- Wong, K. C., Thistle, J. G., Malhamé, R. P. e Hoang, H. H. (2000). Supervisory Control of Distributed Systems: Conflict Resolution, *Discrete Event Dynamic Systems* **10**: 131–186.
- Wong, K. e Wonham, W. (2004). On the Computation of Observers in Discrete-Event Systems, *Discrete Event Dynamical Systems* **14**(1): 55–107.
- Wong, K. e Wonham, W. M. (1996). Hierarchical Control of Discrete-Event Systems, *Discrete Event Dynamic Systems: Theory and Applications* **6**(3): 241–273.